



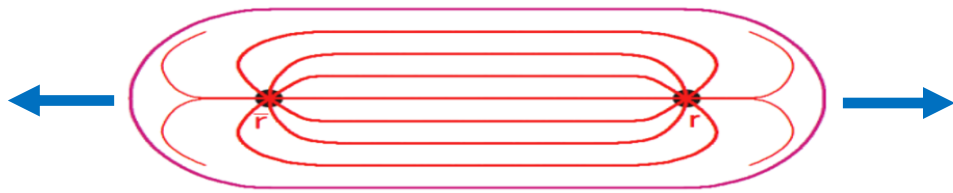
# Универсальный метод задания массивных релятивистских кварк-глюонных струн со свободными концами

Николаенко Р. В.

*[rvnikolaenko@mephi.ru](mailto:rvnikolaenko@mephi.ru)*

# Введение. Струнная модель адронизации

- **Прекофайнмент:** на раннем этапе после образования партоны объединяются в бесцветные системы
- КХД-поле между партонами образует трубку («flux tube») из-за давления внешнего поля глюонов

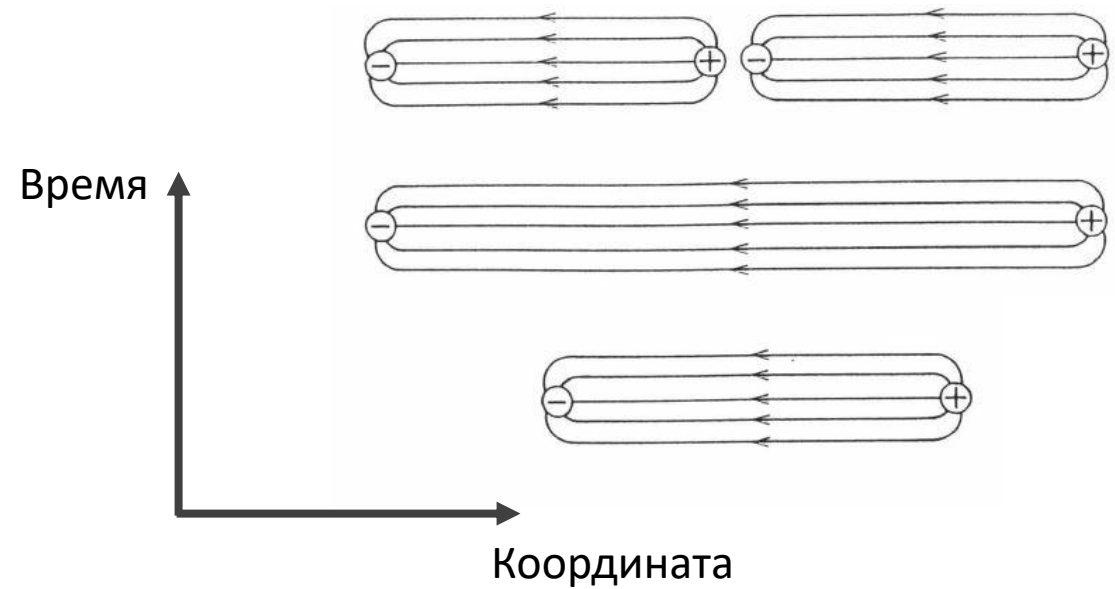


Силловые линии поля между кварком и антикварком сжимаются в трубку

- Чтобы упростить расчет пренебрегают поперечным размером трубки

➡ **Струны**

- Струны **фрагментируют** путем образования пары кварк-антикварк или дикварк-антидикварк (механизм Швингера)



- Легкие струны ассоциируются с **адронами**
- Рождение мезонов:  $q - \bar{q}$  струна
- Рождение барионов (антибарионов):  $q - qq$  ( $\bar{q} - \bar{q}\bar{q}$ ) струна

# Проблема учета массы и углового момента струны

## Модель Lund

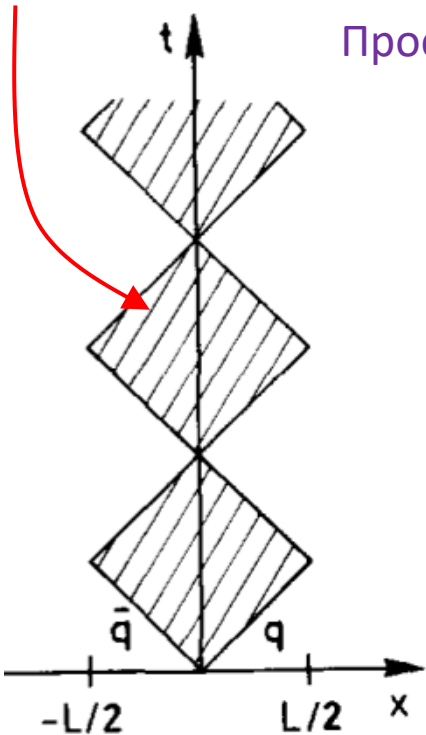
## Caltech-II (EPOS, NEXUS)

Мировой лист струны, площадь  $A$

УД релятивистской струны Намбу-Гото:

Простейшее уравнение движения (УД):

$$\ddot{x}_\mu - x''_\mu = 0.$$



$$\left| \frac{dE}{dx} \right| = \left| \frac{dp_x}{dx} \right| = \left| \frac{dE}{dt} \right| = \left| \frac{dp_x}{dt} \right| = \kappa.$$

Параметрическая формула для координат струны:

Результат – универсальные функции фрагментации:

$$x_\mu(\tau, \sigma) = \frac{1}{2} \left( \rho_\mu(\sigma - \tau) + \rho_\mu(\sigma + \tau) + \int_{\sigma - \tau}^{\sigma + \tau} v_\mu(\lambda) d\lambda \right).$$

$$f(z) \propto \frac{(1-z)^a}{z} e^{-\frac{bm^2}{z}}.$$

Описание фрагментации – закон площади Артру-Меннесье:

$$dP/dA \equiv P_0 = \text{const.}$$

Но! Начальные условия задают **безмассовую** струну (D.A. Morris):

$$\rho_\mu \equiv 0, \quad v_\mu = \text{const} = E/p.$$

- Два кварка разлетаются из одной точки – нет вращения.
- Корректно ли использовать эти УД для массивных струн?

- Струна представляется точкой – нет вращения!

# Ограничения на движение струны: условия Вирасоро

Подставим решение задачи о движении струны в условия ортонормальной калибровки (ОНК):

$$x_\mu(\tau, \sigma) = Q_\mu + P_\mu \frac{\tau}{\pi\kappa} + \frac{i}{\sqrt{\pi\kappa}} \sum_{\substack{n=-\infty \\ n \neq 0}}^{+\infty} e^{-in\tau} \frac{\alpha_{n\mu}}{n} \cos(n\sigma) \quad \left\{ \begin{array}{l} \dot{x}^2 + x'^2 = 0 \\ \dot{x}x' = 0. \end{array} \right.$$

В результате получаем **условия Вирасоро**:

$$\rightarrow \sum_{m=-\infty}^{+\infty} \alpha_{n-m} \alpha_m = 0, \quad n = 0, \pm 1, \pm 2, \dots$$

Здесь  $\alpha_{n\mu}$  - фурье-амплитуды, они определяются следующим образом:

$$\alpha_{n\mu} = \sqrt{\frac{\kappa}{\pi}} \int_0^\pi d\sigma \cos(n\sigma) \left( v_\mu(\sigma) - in\rho_\mu(\sigma) \right), \quad n \neq 0, \quad \alpha_{0\mu} = \frac{P_\mu}{\sqrt{\kappa\pi}}.$$

Функции  $v_\mu(\sigma)$  и  $\rho_\mu(\sigma)$  задают скорость и координаты струны в начальный момент времени.

- Таким образом, условия Вирасоро накладывают ограничения на функции начальных данных струны.

# FOEE метод задания начальных условий для массивной струны

## Проблема:

Можно показать, что для удовлетворения условий Вирасоро в случае **ненулевой** массы струны не подходят полиномы, дробно-рациональные выражения, функции, содержащие синус и степенные ряды

## Предлагается новый способ:

- Представим функции начальных данных в виде *конечных* рядов по собственным функциям вспомогательной задачи Штурма-Лиувилля (**Final-Order Eigenfunction Expansion, FOEE**):

$$v_\mu(\sigma) = a_{0\mu}u_0(\sigma) + \sum_{k=1}^N a_{k\mu}u_k(\sigma), \quad \rho_\mu(\sigma) = b_{0\mu}u_0(\sigma) + \sum_{k=1}^N b_{k\mu}u_k(\sigma).$$

- Для струны со свободными концами:

$$v_\mu(\sigma) = a_{0\mu} + \sum_{k=1}^N a_{k\mu} \cos(k\sigma), \quad \rho_\mu(\sigma) = b_{0\mu} + \sum_{k=1}^N b_{k\mu} \cos(k\sigma).$$

# Построение ФОЕЕ-системы

- Собственные функции задачи Ш.-Л. ортогональны, поэтому система получается **конечной**:

$$\left\{ \begin{array}{l} \sum_{\substack{m=\max(n-N,-N) \\ m \neq 0, m \neq n}}^{\min(n+N,N)} (a_{n-m}a_m - m(n-m)b_{n-m}b_m) + \frac{4}{\kappa\pi} P a_n = 0 \\ \sum_{\substack{m=\max(n-N,-N) \\ m \neq 0, m \neq n}}^{\min(n+N,N)} (m a_{n-m} b_m + (n-m) a_m b_{n-m}) - \frac{4n}{\kappa\pi} P b_n = 0, \end{array} \right. \quad n \neq 0, \quad \left\{ \begin{array}{l} \sum_{\substack{m=-N \\ m \neq 0}}^N (a_{-m}a_m + m^2 b_{-m}b_m) = -\frac{2P^2}{(\kappa\pi)^2} \\ \sum_{\substack{m=-N \\ m \neq 0}}^N m(a_{-m}b_m - a_m b_{-m}) = 0. \end{array} \right.$$

- К этой системе добавим **законы сохранения**:

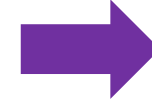
$$\kappa \int_0^\pi d\sigma v_\mu(\sigma) = \kappa \int_0^\pi d\sigma \dot{x}_\mu(0, \sigma) = P_\mu,$$

$$\kappa \int_0^\pi d\sigma [\rho_\mu(\sigma)v_\nu(\sigma) - \rho_\nu(\sigma)v_\mu(\sigma)] = \kappa \int_0^\pi d\sigma [x_\mu(0, \sigma)\dot{x}_\nu(0, \sigma) - x_\nu(0, \sigma)\dot{x}_\mu(0, \sigma)] = M_{\mu\nu}.$$

# Система FOEE: 1 порядок

Начальные условия имеют вид:

$$\begin{aligned}v_\mu(\sigma) &= a_\mu + b_\mu \cos(\sigma) \\ \rho_\mu(\sigma) &= c_\mu + d_\mu \cos(\sigma)\end{aligned}$$



$$\begin{cases} \alpha_{0\mu} = \frac{P_\mu}{\sqrt{\kappa\pi}} \\ \alpha_{1\mu} = \frac{\sqrt{\kappa\pi}}{2} (b_\mu - id_\mu) \\ \alpha_{-1\mu} = \frac{\sqrt{\kappa\pi}}{2} (b_\mu + id_\mu) \end{cases}$$

Система условий Вирасоро:

$$\begin{cases} b^2 - d^2 = 0 \\ bd = bP = dP = 0 \\ b^2 + \frac{2P^2}{(\kappa\pi)^2} = 0 \end{cases}$$

Выражения для фурье-амплитуд

Сохранение 4-импульса:  $a_\mu = \frac{P_\mu}{\kappa\pi}$

15 уравнений, 16 переменных

Сохранение углового момента:  $c_\mu P_\nu - c_\nu P_\mu + \frac{\kappa\pi}{2} (d_\mu b_\nu - d_\nu b_\mu) = M_{\mu\nu}$ .

- Даже в первом порядке разрешить систему в общем случае сложно из-за ее нелинейности.

# FOEE(1)-струна в системе центра масс

- Зададим струну в системе ее центра масс:

$$P_0 \equiv M, P_i = 0, i = 1, 2, 3.$$

- Повернем систему координат так, чтобы вращение струны происходило лишь вокруг одной оси:

$$\mathcal{M}_{\mu\nu} = \begin{pmatrix} 0 & 0 & 0 & 0 \\ 0 & 0 & 0 & \mathcal{M}_{13} \\ 0 & 0 & 0 & 0 \\ 0 & -\mathcal{M}_{13} & 0 & 0 \end{pmatrix}.$$

Тогда функции начальных данных имеют следующий вид:

$$v_\mu^*(\sigma) = (\kappa\pi)^{-1} M [\delta_{0\mu} + \delta_{1\mu} \cos(\sigma)], \quad \rho_\mu^*(\sigma) = -(\kappa\pi)^{-1} \xi M \delta_{3\mu} \cos(\sigma),$$

где  $\delta_{\mu\nu}$  – дельта-символ Кронекера,  $\xi$  – сигнатура вращения струны:

$$\xi = \text{sign} \mathcal{M}_{13}.$$



# FOEE(1)-струна в системе центра масс

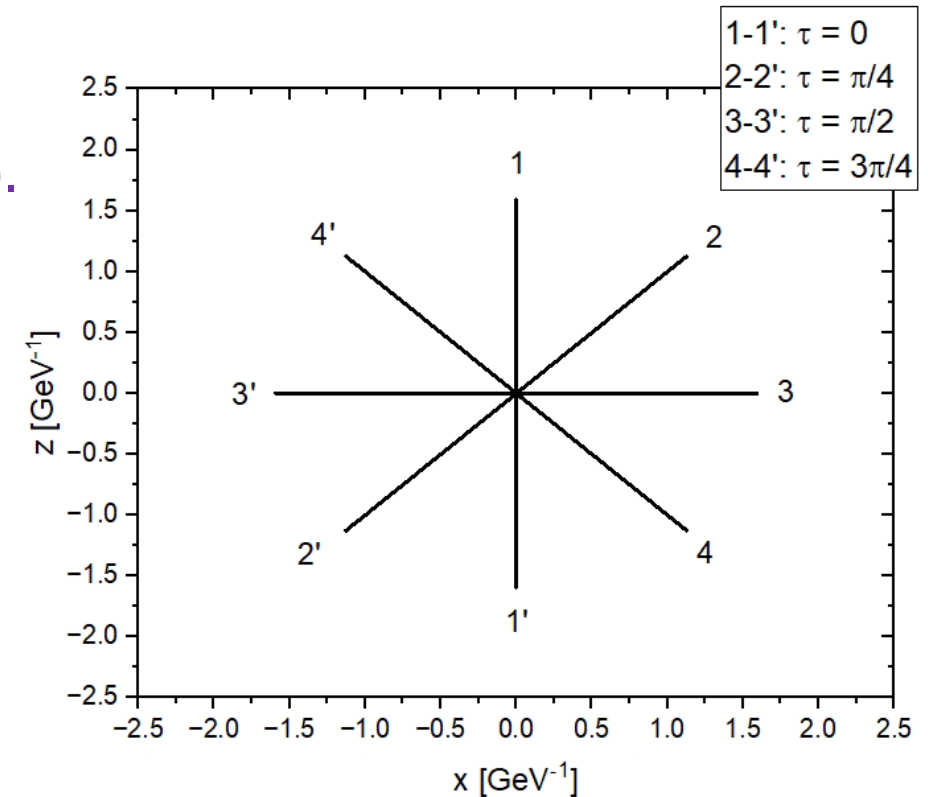
- Получаем формулу для координат струны:

$$x_\mu(\tau, \sigma) = (k\pi)^{-1} M (\delta_{0\mu} \tau + [\delta_{1\mu} \sin(\tau) - \xi \delta_{3\mu} \cos(\tau)] \cos(\sigma)).$$

- Выполняется важнейшее соотношение:

$$2k\pi |\mathcal{M}_{13}| = M^2.$$

- Для наличия массы струна **обязана** вращаться, то есть обладать спином!
- Важно: для FOEE(1)-струны выполняются условия на касательные векторы к мировой поверхности струны.



FOEE(1)-струна в СЦМ вращается как жесткий стержень

# FOEE(1)-струна в произвольной системе

Лоренц-буст в систему, где полный импульс струны равен  $\vec{P}$ :

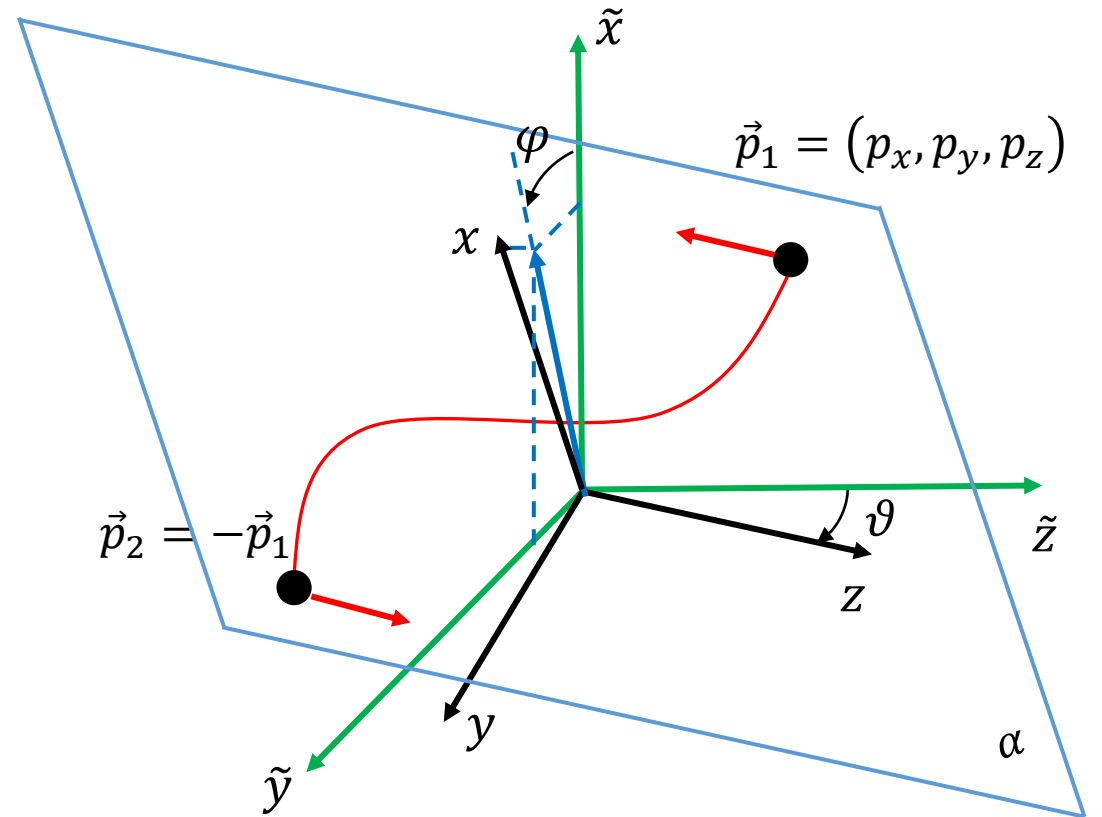
$$v_0(\sigma) = \frac{P_0 v_0^*(\sigma) + \vec{P} \vec{v}^*(\sigma)}{M},$$

$$\vec{v}(\sigma) = \vec{v}^*(\sigma) + \vec{P} \frac{v_0(\sigma) + v_0^*(\sigma)}{P_0 + M}.$$

Поворот осей координат:

$$R(\vartheta, \varphi) = \begin{pmatrix} \cos \varphi \cos \vartheta & -\sin \varphi & \cos \varphi \sin \vartheta \\ \sin \varphi \cos \vartheta & \cos \varphi & \sin \varphi \sin \vartheta \\ -\sin \vartheta & 0 & \cos \vartheta \end{pmatrix},$$

$$\cos \vartheta = \frac{p_z}{\sqrt{p_x^2 + p_y^2 + p_z^2}}, \quad \cos \varphi = \frac{p_y}{\sqrt{p_x^2 + p_y^2}}.$$



Поворот осей координат в системе центра масс струны

# FOEE(1)-струна в произвольной системе

Начальные данные задачи Коши о движении струны:

$$v_\mu(\sigma) = (\kappa\pi)^{-1} [P_\mu + (M\psi_\mu - (P\psi)\chi_\mu) \cos(\sigma)], \quad \rho_\mu(\sigma) = -\xi(\kappa\pi)^{-1} (M\lambda_\mu - (P\lambda)\chi_\mu) \cos(\sigma),$$

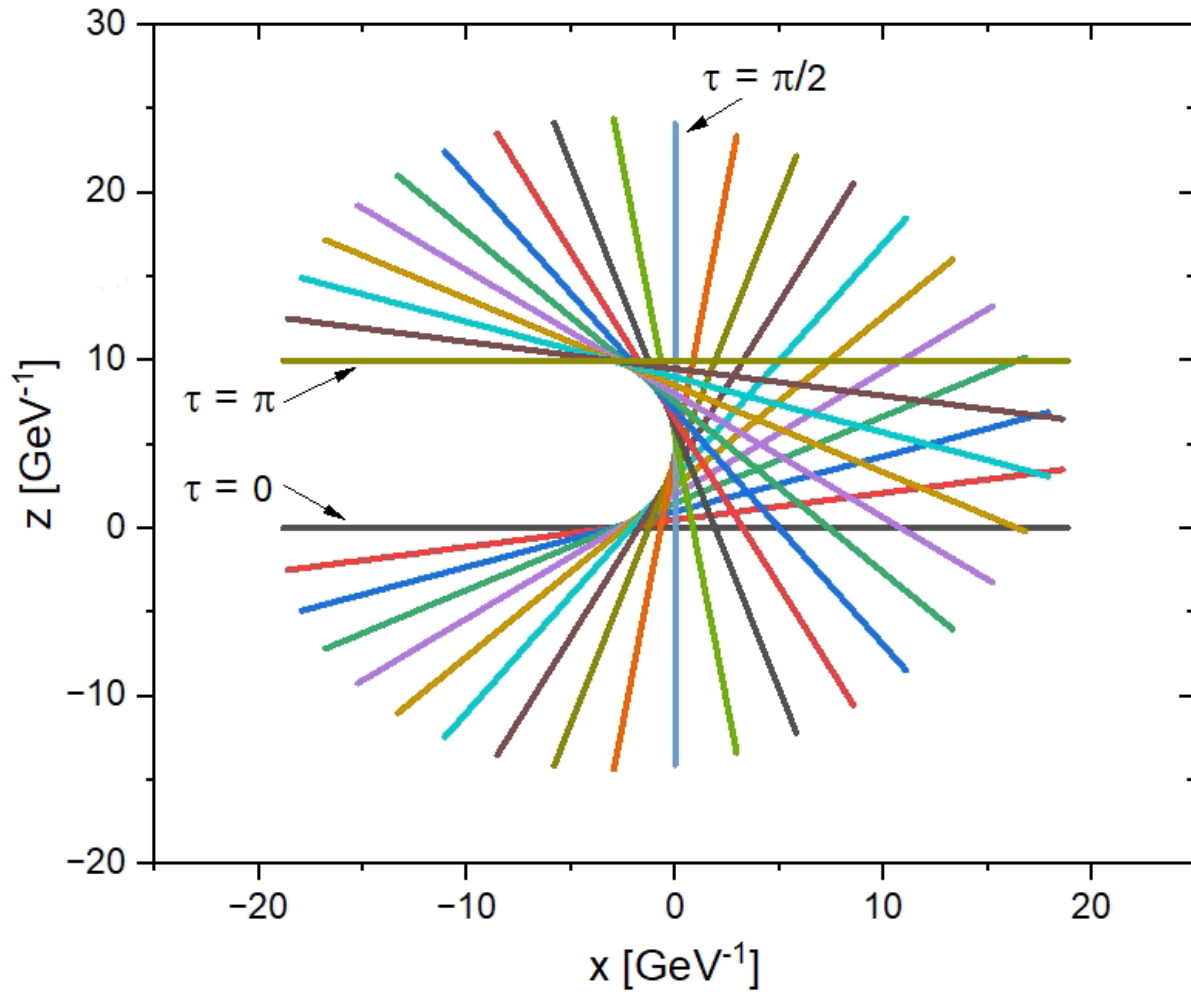
$$\psi_\mu = \begin{pmatrix} 0 \\ \cos \varphi \cos \vartheta \\ \sin \varphi \cos \vartheta \\ -\sin \vartheta \end{pmatrix}, \quad \lambda_\mu = \begin{pmatrix} 0 \\ \cos \varphi \sin \vartheta \\ \sin \varphi \sin \vartheta \\ \cos \vartheta \end{pmatrix}, \quad \chi_0 \equiv 1, \quad \vec{\chi} = \frac{\vec{P}}{P_0 + M}.$$

Координаты струны определяются формулой:

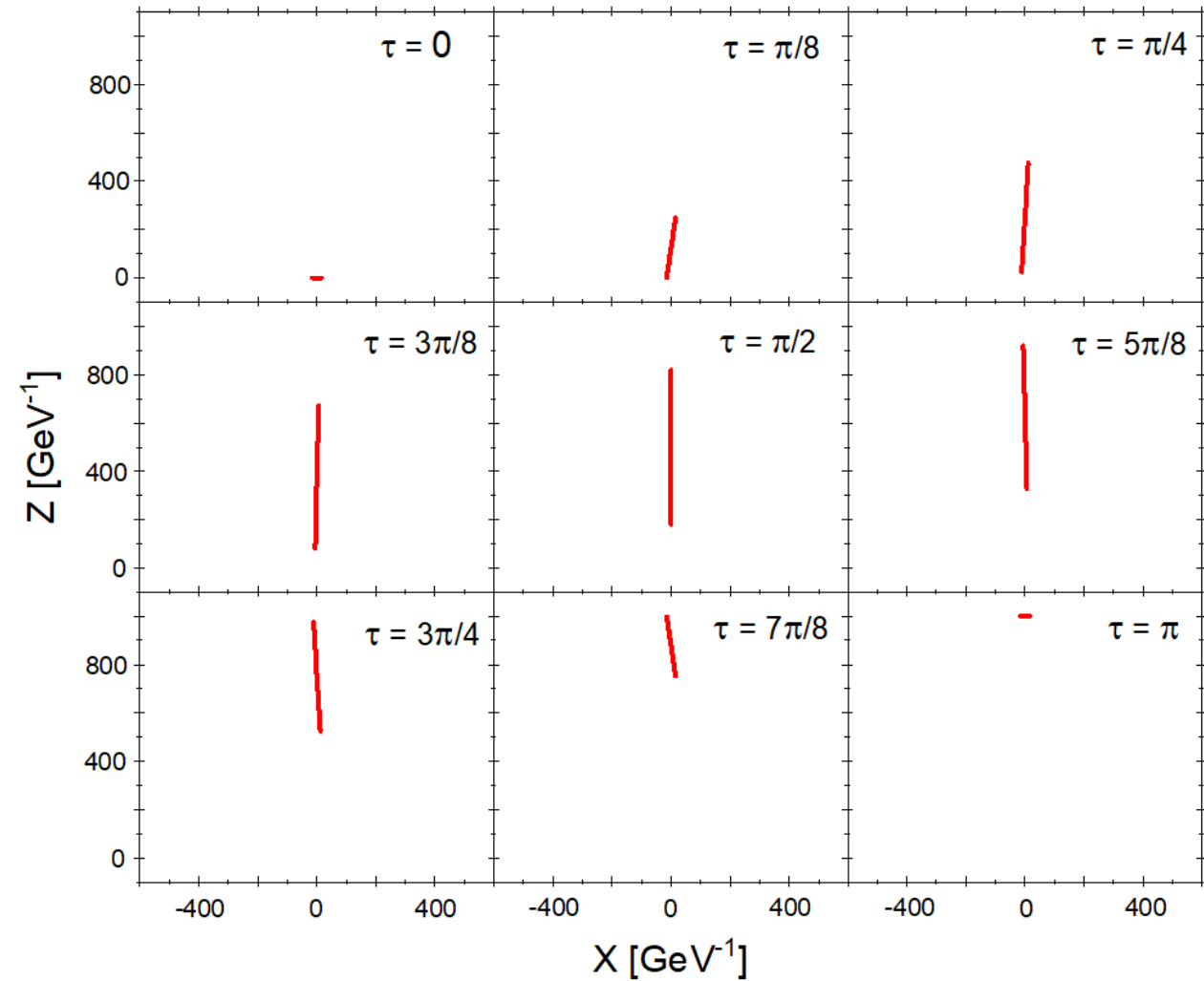
$$x_\mu(\tau, \sigma) = (\kappa\pi)^{-1} (P_\mu \tau + [(P\Omega(\tau))\chi_\mu - M\Omega_\mu(\tau)] \cos(\sigma)),$$

$$\Omega_\mu(\tau) = \begin{pmatrix} 0 \\ \cos \varphi \sin(\xi\vartheta - \tau) \\ \sin \varphi \sin(\xi\vartheta - \tau) \\ \xi \cos(\xi\vartheta - \tau) \end{pmatrix}, \quad \Lambda_\mu(\tau) = - \begin{pmatrix} 0 \\ \cos \varphi \cos(\xi\vartheta - \tau) \\ \sin \varphi \cos(\xi\vartheta - \tau) \\ -\xi \sin(\xi\vartheta - \tau) \end{pmatrix}.$$

# Примеры движения FOEE(1)-струны



Движение FOEE(1)-струны с массой 12 ГэВ и импульсом  $P_z = 2$  ГэВ



Движение FOEE(1)-струны с массой 10 ГэВ и импульсом  $P_z = 200$  ГэВ

## Обобщение на случай струны с собственной осцилляцией высшего порядка

- Для FOEE(1)-струн допускается наличие собственной гармоники с ненулевой амплитудой произвольного порядка:

$$\begin{cases} v_\mu(\sigma) = a_\mu + b_\mu \cos(\sigma) \\ \rho_\mu(\sigma) = c_\mu + d_\mu \cos(\sigma) \end{cases} \quad \longrightarrow \quad \begin{cases} v_\mu(\sigma) = a_\mu + b_\mu \cos(\nu\sigma) \\ \rho_\mu(\sigma) = c_\mu + d_\mu \cos(\nu\sigma) \end{cases} \quad \boxed{\nu - \text{натуральное число}}$$

- В результате меняется лишь одно уравнение в условиях Вирасоро, и конечная формула для координат струны имеет схожий вид:

$$x_\mu(\tau, \sigma) = (\kappa\pi)^{-1} (P_\mu \tau + \nu^{-1} [(P\Omega(\tau, \nu))\chi_\mu - M\Omega_\mu(\tau, \nu)] \cos(\sigma)),$$
$$\Omega_\mu(\tau, \nu) = \begin{pmatrix} 0 \\ \cos \varphi \sin(\xi\vartheta - \nu\tau) \\ \sin \varphi \sin(\xi\vartheta - \nu\tau) \\ \xi \cos(\xi\vartheta - \nu\tau) \end{pmatrix}, \quad \Lambda_\mu(\tau) = - \begin{pmatrix} 0 \\ \cos \varphi \cos(\xi\vartheta - \nu\tau) \\ \sin \varphi \cos(\xi\vartheta - \nu\tau) \\ -\xi \sin(\xi\vartheta - \nu\tau) \end{pmatrix}.$$

## Обобщение на случай струны с собственной осцилляцией высшего порядка

- **Важнейшее** значение в этом случае имеет соотношение между спином и массой струны:

$$J = \frac{1}{\nu} \frac{M^2}{2\kappa\pi},$$

$\nu$  – натуральное число

что означает, что для струны с заданной массой  $M$  существует дискретный спектр значений классического спина  $J$ , определяемый частотой  $\nu$  собственной гармоника струны.

- На практике это позволяет «подбирать» частоту  $\nu$  для определенного из других соображений значения спина струны.
- Например, если масса струны  $M = 100$  ГэВ, а ее спин «должен» быть равен  $J = 1/2$ , собственная гармоника должна задаваться с частотой

$$\nu = \frac{1}{J} \frac{M^2}{2\kappa\pi} \approx 0.8 \frac{10^4}{0.5} = 16\,000.$$

# Заключение

- Создан метод, позволяющий **корректно** задавать массивную релятивистскую струну со свободными концами в произвольной системе отсчета.
- Метод основан на конечном разложении по собственным функциям задачи Штурма-Лиувилля (**FOEE**).
- Получено решение для первого порядка разложения (случай FOEE(1)-струн).
- Заданные таким образом струны удовлетворяют условиям Вирасоро, условиям на касательные векторы к мировой поверхности струны, законам сохранения 4-импульса и полного углового момента и Лоренц-инвариантности исходной теории.
- Показано, что такие струны обладают **дискретным спектром** значений спина.
- Таким образом, один лишь учет массы струны и ее углового момента приводит к **значительным изменениям** в динамике релятивистских струн, моделирующих массивные системы партонов.
- Очевидно, что существующие модели используют **значительно упрощенное** представление о физике струн, что может приводить к заметным погрешностям модельных предсказаний.

Спасибо за внимание!



# Ограничения на движение струны: условия Вирасоро

Из стандартного действия Намбу-Гото для струны

$$S_{\text{string}} = -\kappa \int_{\sigma_1}^{\sigma_2} d\sigma \int_{\tau_1(\sigma)}^{\tau_2(\sigma)} d\tau \sqrt{(x' \dot{x})^2 - x'^2 \dot{x}^2}$$

следуют уравнения движения (УД):

$$\frac{\partial}{\partial \tau} \left( \frac{(\dot{x} x') x'_\mu - x'^2 \dot{x}_\mu}{\sqrt{(\dot{x} x')^2 - \dot{x}^2 x'^2}} \right) + \frac{\partial}{\partial \sigma} \left( \frac{(\dot{x} x') \dot{x}_\mu - \dot{x}^2 x'_\mu}{\sqrt{(\dot{x} x')^2 - \dot{x}^2 x'^2}} \right) = 0.$$

Чтобы упростить УД вводят специальную калибровку, определяющую связь между параметрами  $\tau$  и  $\sigma$ :

$$\dot{x}^2 + x'^2 = 0, \quad \dot{x} x' = 0.$$

Такая калибровка называется *ортонормальной* и позволяет получить простой вид УД:

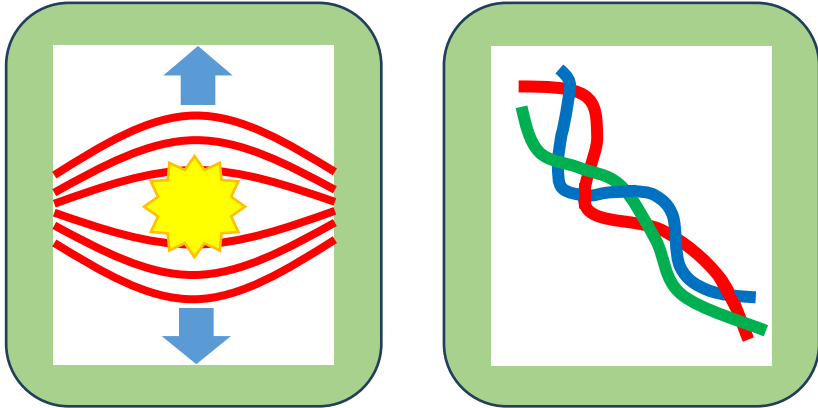
$$\ddot{x}_\mu - x''_\mu = 0.$$

$x_\mu(\tau, \sigma)$  есть 2-параметрическое задание мирового листа струны, параметр  $\sigma$  нумерует точки струны, а  $\tau$  определяет временную эволюцию.

$$\dot{x}_\mu \equiv \frac{\partial x_\mu(\tau, \sigma)}{\partial \tau}$$
$$x'_\mu \equiv \frac{\partial x_\mu(\tau, \sigma)}{\partial \sigma}$$

# Проблемы в современных струнных моделях рождения адронов

- Взаимодействие струн («коллективные эффекты»): «shoving», «rope hadronization»



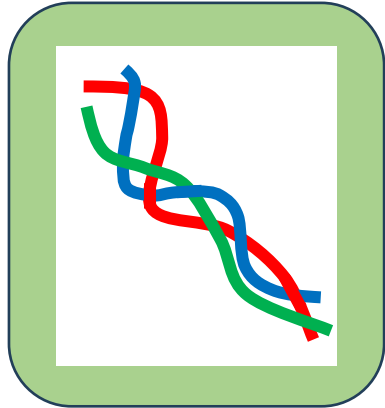
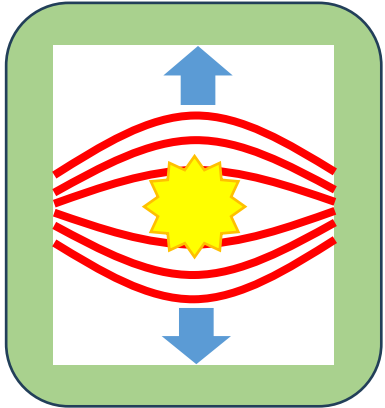
- Наблюдение коллективных эффектов в pp-столкновениях («хребет», увеличение выхода странных частиц и т.д.)
- Учет поперечного сечения «струн» и расталкивания в плотной среде
- Учет «переплетения» струн в веревки с изменением эффективного натяжения

C. Bierlich, S. Chakraborty, G. Gustafson, L. Lönnblad

D. Prokhorova, E. Andronov, G. Feofilov

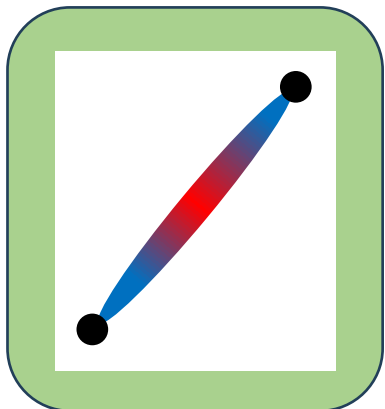
# Проблемы в современных струнных моделях рождения адронов

- Взаимодействие струн («коллективные эффекты»): «shoving», «rope hadronization»



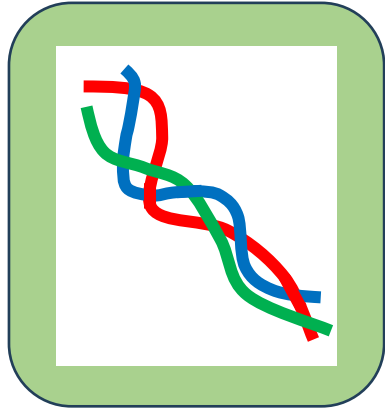
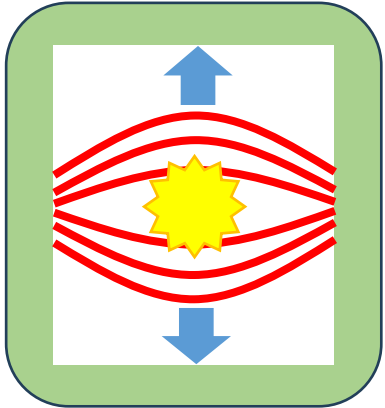
- Наблюдение коллективных эффектов в pp-столкновениях («хребет», увеличение выхода странных частиц и т.д.)
- Учет поперечного сечения «струн» и расталкивания в плотной среде
- Учет «переплетения» струн в веревки с изменением эффективного натяжения

- Переменный коэффициент натяжения струны



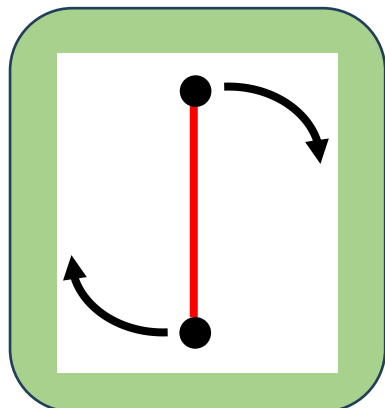
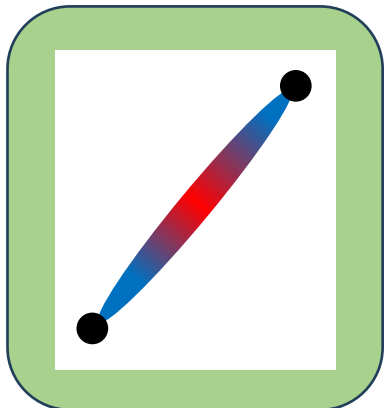
# Проблемы в современных струнных моделях рождения адронов

- Взаимодействие струн («коллективные эффекты»): «shoving», «rope hadronization»



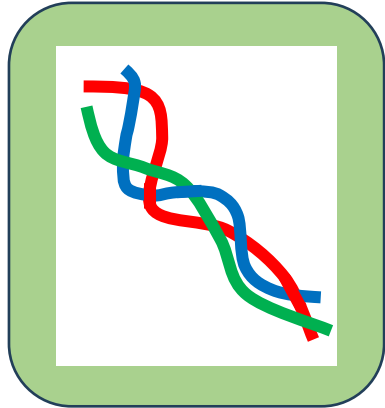
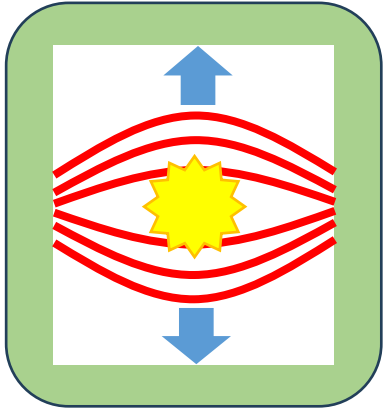
- Наблюдение коллективных эффектов в pp-столкновениях («хребет», увеличение выхода странных частиц и т.д.)
- Учет поперечного сечения «струн» и расталкивания в плотной среде
- Учет «переплетения» струн в веревки с изменением эффективного натяжения

- Сохранение углового момента



# Проблемы в современных струнных моделях рождения адронов

- Взаимодействие струн («коллективные эффекты»): «shoving», «rope hadronization»



- Наблюдение коллективных эффектов в pp-столкновениях («хребет», увеличение выхода странных частиц и т.д.)
- Учет поперечного сечения «струн» и расталкивания в плотной среде
- Учет «переплетения» струн в веревки с изменением эффективного натяжения

- Фрагментация систем с тяжелыми кварками

